

## (206) 連鉄鉄片の縦割れ疵の発生と伝播に及ぼす一次、二次冷却の影響

(連鉄鉄片の表面疵低減に関する研究—VI)

新日鐵・広畠 塗嘉夫 ○山内秀樹 藤井博務  
有馬良士 工博 大橋徹郎 広本 健

**1. 緒言：**鉄片表面疵の発生機構、ならびに疵発生に及ぼす諸要因の影響については理論的にも経験的にも可成り明らかになってきたが、疵の形成に及ぼす要因別の寄与率が不明なため、抜本的な疵減少対策が未確立のままになっている。本報では、縦割れ疵の形成に及ぼす要因別の寄与率を定量化する目的で、実機における铸造中鉄片の二次冷却を完全カットし、疵の発生と伝播に及ぼす一次冷却と二次冷却の影響を調査した結果を報告する。

**2. 試験方法：**図1に二次冷却水のカット試験法の概要を示したが、その試験手順は次の通りである。

- 铸造中の鉄型直下部のゾーンIのスプレイ水を閉じる(図1-B)
- ゾーンIのスプレイ水を閉じた時点の鉄型下端部相当鉄片がゾーンIIに入る直前にゾーンIIのスプレイ水を閉じる(図1-C)
- 以降は、鉄型下端部相当鉄片が各ゾーンに入る直前にスプレイ水を順次、閉じていき引抜きを完了する。この方法により、二次冷却水の影響を受けない鉄片の表面特性の評価が可能となる。

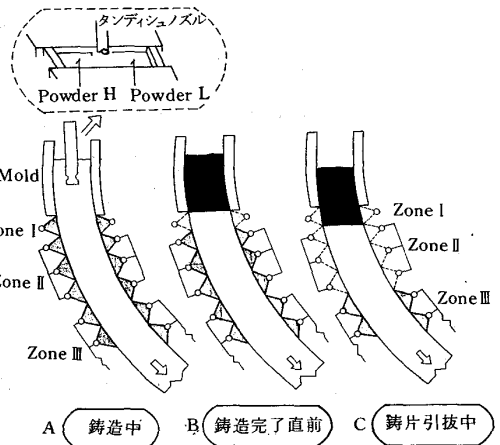


図1. 二次冷却水カット試験方法

**3. 鉄片疵の外観的特徴：**鉄片表面の外観観察より表面欠陥は、  
a) 表面が凹んでおり割れを伴わないもの(凹み疵)、b) 凹み疵内に割れの認められるもの(縦割れ疵)、の二種に分類できる。縦割れ疵は凹み部の幅方向中央部近傍に発生し、凹み長さよりも短い。また、凹み部の形状はパウダー物性により異なっている。

**4. 鉄型内(一次冷却帯)の疵発生に及ぼす二、三の要因の影響：**

図2に示したように鉄型内における凹み疵発生数は、低粘性パウダーほど少ない。また、凹み疵発生数にC依存性が認められる。なお、鉄型内鉄片は、凹み疵だけであり縦割れ疵の発生は認められなかつた。

**5. 疵の発生と伝播に及ぼす二次冷却帯の寄与率：**図2に示したように、二次冷却帯鉄片の疵発生数は鉄型内鉄片のそれに比し多い。これは二次冷却帯に於て新たに疵が発生、又は成長、伝播したことを意味している。鉄型内および二次冷却帯鉄片の疵発生数と疵長さから疵形成に及ぼす二次冷却帯の寄与率を求める表1のようになる。

低粘性パウダー使用の鉄片Aの場合、個数寄与率 $I_N$ は3%、長さ寄与率 $I_{LL}$ は8%であることから二次冷却帯において殆んど疵が発生、成長しないことを意味する。一方、高粘性パウダー使用の鉄片Bの $I_N$ は46%と高くなり、Cが0.11%では $I_N$ はさらに高く、56~61%となる。また、铸造速度をダウンさせた鉄片Eは鉄片Cと鉄型内発生数は同じであるにもかかわらず $I_N$ は9%と小さくなっている。以上のように二次冷却帯における疵の発生、伝播特性にパウダー物性、溶鋼C量、铸造速度の依存することが判明した。また、凹み部は鉄型下端から二次冷却帯にかけて表面まで開孔し縦割れ疵となる事実を把握した。

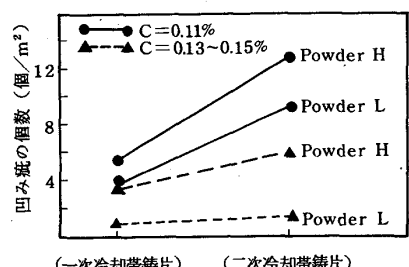


図2. 一次冷却帯と二次冷却帯鉄片の凹み疵発生数に及ぼすパウダー物性と溶鋼炭素量の影響

表1. 疵形成に及ぼす二次冷却帯の寄与率

鉄片	パウダーI (at 1300°C)	粘性CP	鉄型内鉄片		二次冷却帯鉄片		二次冷却帯の寄与率(%)		炭素量(%)	铸造速度(m/min)
			Ⓐ	Ⓑ	Ⓒ	Ⓓ	個数寄与率 $I_N = \frac{Ⓐ}{Ⓐ+Ⓑ+Ⓒ} \times 100$	長さ寄与率 $I_{LL} = \frac{Ⓓ}{Ⓐ+Ⓑ+Ⓒ} \times 100$		
A L	252	1.24	95	1.28	103	3	3	8	0.13	0.7~
B H	994	3.36	222	6.19	656	46	66	66	0.15	0.8
C L	252	5.56	324	2.68	1461	56	78	78	0.11	0.5
D L	252	3.73	407	9.47	1096	61	63	63	0.11	0.5
E H	994	5.56	487	6.08	899	9	46	46	0.5	